

# 小鼠胚胎干细胞转染条件的优化

陈天姬,杜娟,卢光琇

(中南大学 生殖与干细胞工程研究所,湖南 长沙 410078)

**[摘要]** 【目的】对小鼠胚胎干细胞(mESCs)转染条件进行优化。【方法】分别将 $0.5 \times 10^5$ , $1 \times 10^5$ , $2 \times 10^5$ , $4 \times 10^5$ 个细胞接种24孔板(各细胞量均接种2孔),培养48 h在其细胞融合度分别为30%,50%,70%,90%左右时,分别设置相同的( $0.8 \mu\text{g}$  DNA/ $2 \mu\text{L}$  脂质体)和不同的DNA/脂质体用量(DNA量( $\mu\text{g}$ )/Lipo量( $\mu\text{L}$ )分别为0.4/1, $0.8/2$ , $1.6/4$ , $3.2/8$ ),采用脂质体(Lipofectamine<sup>TM</sup> 2000)转染法,将pEGFP-N1报告基因载体转染到mESCs中,48 h后通过荧光观察和流式分析检测各组EGFP荧光强度,比较转染效率。【结果】在质粒及脂质体用量相同( $0.8 \mu\text{g}$  DNA/ $2.0 \mu\text{L}$  脂质体)的条件下,随着细胞融合度的增加,EGFP荧光强度逐渐减弱,在细胞融合度为30%,50%,70%,90%左右时转染,各组EGFP阳性细胞率分别为56.4%,51.8%,40.8%和23.3%。提高转染质粒及脂质体量可在一定程度上提高转染效率,但脂质体的细胞毒性也随之增加,不利于细胞生长。【结论】低融合度(30%~50%)条件下,使用 $0.8 \mu\text{g}$  DNA/ $2.0 \mu\text{L}$  脂质体对mESCs进行转染,可获得较高的转染效率(>50%),同时可维持良好的细胞状态。

**[关键词]** 小鼠胚胎干细胞;细胞融合度;脂质体法;pEGFP-N1;转染效率

**[中图分类号]** R321.1

**[文献标识码]** A

**[文章编号]** 1671-9387(2010)12-0020-05

## Optimization of the transfection efficiency of mouse embryonic stem cells

CHEN Tian-ji, DU Juan, LU Guang-xiu

(Institute of Reproduction and Stem Cell Engineering, Central South University, Changsha, Hunan 410078, China)

**Abstract:** 【Objective】The study was done to optimize the transfection efficiency of mouse embryonic stem cells (mESCs). 【Method】mESCs were seeded into 24-well plates at a density of  $0.5 \times 10^5$ , $1 \times 10^5$ , $2 \times 10^5$ , $4 \times 10^5$  per well (each for two wells). 48 h later, cells were transfected when cell confluence was 30%,50%,70%,90% respectively. The reporter plasmid pEGFP-N1 was transfected into cells using Lipofectamine<sup>TM</sup> 2000 by using the same amount ( $0.8 \mu\text{g}$  DNA/ $2 \mu\text{L}$  liposome) or different amounts of DNA and liposome (DNA( $\mu\text{g}$ )/liposome ( $\mu\text{L}$ ):0.4/1, $0.8/2$ , $1.6/4$ , $3.2/8$ ) respectively. 48 hr later, the fluorescence intensities in each group were observed and the transfection efficiencies were compared. 【Result】The result of fluorescence microscopy and FACS analysis showed that the percentage of EGFP positive cells gradually decreased (56.4%,51.8%,40.8% and 23.3% respectively) as the cell confluence increased (30%,50%,70% and 90% respectively) when using the same amount of DNA and liposome ( $0.8 \mu\text{g}$  DNA/ $2.0 \mu\text{L}$  liposome/well of 24-well plate). When using more DNA and liposome, transfection efficiency further increased. However, obvious cytotoxicity could be observed. 【Conclusion】High transfection efficiency (>50%) on mESCs could be achieved by using  $0.8 \mu\text{g}$  DNA/ $2.0 \mu\text{L}$  liposome/well of 24-well plate

\* [收稿日期] 2010-05-12

[基金项目] 国家自然科学基金项目(30570937);国家高技术研究发展计划项目(2006AA02A102);中南大学研究生创新基金项目(2340-74334000003)

[作者简介] 陈天姬(1984—),女,湖南长沙人,在读博士,主要从事干细胞相关基因功能研究。

[通信作者] 卢光琇(1939—),女,湖北天门人,教授,博士生导师,主要从事辅助生殖与干细胞研究。

E-mail: lugxdirector@yahoo.com.cn

under condition of low cell confluences (30%–50%).

**Key words:** mouse embryonic stem cells (mESCs); cell confluence; Liposome-mediated; pEGFP-N1; transfection efficiency

胚胎干细胞(Embryonic stem cells, ESCs)来源于囊胚时期的内细胞团(Inner cell mass, ICM)<sup>[1]</sup>, 其最显著的特征是具有多向分化和自我更新潜能, 因此 ESCs 为研究早期胚胎发育提供了良好的体外模型, 此外其在再生医学领域也具有广泛的应用前景<sup>[2]</sup>。运用 ESCs 进行的相关基础和应用研究已成为 21 世纪生命科学研究的热点之一, 而获得较高的 ESCs 转基因效率是 ESCs 相关研究的基础。

目前, 常见的用于 ESCs 的转基因技术有脂质体转染法<sup>[3]</sup>、慢病毒感染法<sup>[4]</sup>和电穿孔法<sup>[5]</sup>等。慢病毒感染法对于 ESCs 而言能获得较理想的转基因效率<sup>[6-7]</sup>, 但目前仍无法完全排除该法转染体系中的不安全因素, 其潜在的安全隐患对实验操作环境提出了较高要求, 增加了推广的难度。电穿孔法最大的问题是会对细胞, 尤其是对 ESCs 等较敏感细胞的损伤较大, 容易导致细胞死亡<sup>[8]</sup>。近年来还有研究者提出了磁转染(Magnetofection)方法, 并报道在 ESCs 上获得了较理想的转染效率<sup>[9]</sup>, 但该方法由于操作较复杂, 成本较高, 目前并未得到推广。脂质体转染法是一种相对安全、成本较低、操作简单的转基因方法, 目前虽然已有研究人员采用该法转染小鼠胚胎干细胞(Mouse embryonic stem cells, mESCs)来进行相关研究<sup>[10-15]</sup>, 但关于其转染条件的优化尚未见报道。为此, 本研究以 mESCs 为材料, 较详尽地比较了不同细胞密度、DNA 和脂质体用量对 mESCs 转染效率的影响, 摸索出了较理想的脂质体法转染 mESCs 的条件, 以期为进一步的 ESCs 相关研究提供技术支持。

## 1 材料与方法

### 1.1 材 料

1.1.1 细胞 所用 R1/E 细胞为 mESCs 系, 来源于美国模式菌种收集中心(ATCC, SCRC-1036)。1.1.2 试剂及仪器 高糖 DMEM 培养基、胎牛血清(FBS)、L-谷氨酰胺、非必需氨基酸、1×DPBS 和 2.5 g/L 胰蛋白酶均为 Invitrogen-Gibco 公司产品,  $\beta$ -巯基乙醇和 Lipofectamine<sup>TM</sup> 2000 为 Invitrogen 公司产品, 白血病抑制因子(Leukemia inhibitory factor, LIF)为 Millipore-Chemicon 公司产品, 明胶为 Sigma-aldrich 公司产品, pEGFP-N1 报告基因

载体为 Clontech 公司产品, 质粒大量制备试剂盒为 QIAGEN 公司产品。24 孔细胞培养皿为 Corning 公司产品。荧光显微镜为 Nikon 公司产品, 流式细胞仪为 BD 公司产品。

### 1.2 方 法

1.2.1 质粒的制备 将 pEGFP-N1 报告基因载体的冻存菌种接种于 100 mL LB 培养基中, 37 ℃恒温水平摇床(250 r/min)扩增过夜后, 采用 Maxi prep Kit 大量制备质粒。对所制备质粒进行琼脂糖凝胶电泳鉴定, 并用紫外分光光度计测定其浓度。

1.2.2 细胞培养及传代 R1/E mESCs 采用无饲养层细胞培养体系培养, 培养基为含体积分数 15% FBS、2 mmol/L L-谷氨酰胺、0.1 mmol/L 非必需氨基酸、0.1 mmol/L  $\beta$ -巯基乙醇, 1 000 U/mL LIF 的高糖 DMEM 培养基。细胞每天换液 1 次, 每 3~4 d 用胰蛋白酶消化后进行传代。细胞用 1×DPBS 洗 1 次后加入适量的 2.5 g/L 胰蛋白酶进行消化(37 ℃消化 1 min 左右), 用培养基中和胰蛋白酶, 1 000 r/min 离心 5 min 收获细胞, 进行计数。将  $0.5 \times 10^5$ ,  $1 \times 10^5$ ,  $2 \times 10^5$ ,  $4 \times 10^5$  个细胞分别传代至已用 0.1% 明胶包被过的 24 孔板中(依次记为 1, 2, 3, 4 组, 各组分别传 2 孔), 待转染。所有细胞均置 37 ℃、体积分数 5% CO<sub>2</sub> 恒温培养箱中培养。

1.2.3 细胞转染 将上述 1, 2, 3, 4 组细胞培养 48 h, 在其融合度分别为 30%, 50%, 70%, 90% 左右时, 按表 1 中的条件进行转染, 组成 A1~A4、B1~B4 组。试验所用转染试剂为 Lipofectamine<sup>TM</sup> 2000, 转染过程基本按照说明书进行操作, 仅进行一处改进, 即吸去皿中旧培养基后, 先小心加入孵育好的 DNA-转染试剂混合物, 使之在皿中铺开后将细胞放到 37 ℃ 培养箱孵育 5 min, 之后取出细胞及时加入新鲜培养基。

1.2.4 EGFP 阳性细胞的荧光观察及流式检测 转染 48 h 后, 于荧光显微镜下观察比较各组细胞的 EGFP 荧光信号强度。采用胰蛋白酶消化的方法收集各组细胞, 进行流式分析, 对各组 EGFP 阳性细胞率进行定量。

1.2.5 统计学分析 以上转染及检测试验均重复 3 次, 采用 SPSS 10.0 软件对流式检测结果进行分析,  $P < 0.05$  表明统计学差异显著。

表 1 各组 R1/E 细胞的转染条件

Table 1 The transfection condition of each group

| 处理<br>Treatment                                    | 1 组<br>Group 1 | 2 组<br>Group 2 | 3 组<br>Group 3 | 4 组<br>Group 4 |
|--|----------------|----------------|----------------|----------------|
| A (DNA 量( $\mu\text{g}$ )/Lipo 量( $\mu\text{L}$ )) | 0.8/2          | 0.8/2          | 0.8/2          | 0.8/2          |
| B (DNA 量( $\mu\text{g}$ )/Lipo 量( $\mu\text{L}$ )) | 0.4/1          | 0.8/2          | 1.6/4          | 3.2/8          |

## 2 结果与分析

### 2.1 转染细胞的荧光显微镜观察

显微镜下观察结果见图 1。光镜观察发现, A1/B1 和 A2/B2 组细胞克隆形态典型, 状态良好。A3/B3 组由于细胞融合度较大, 生长空间有限, 克隆之间发生一定融合, 细胞不再呈典型的克隆形态。而细胞融合度进一步增加时(A4/B4 组), 细胞连成一片, 已基本看不出克隆形态。

从 EGFP 荧光观察结果可看出, A1、A2 和 A3 组 EGFP 阳性细胞率没有明显差别, 但荧光强度有逐渐减弱的趋势, 其中 A1 组 EGFP 信号最强, 且这种较强的荧光信号几乎分布于整个克隆; A4 组中 EGFP 荧光信号明显减弱。

为了检测是否细胞融合度较高时所用质粒呈

“不饱和”状态而影响了其转染效率, 本试验保持细胞融合度为 50% 左右时的转染条件不变(即 B2=A2), 将其他各组分别以该组为标准成倍递减或递增所用质粒及脂质体量(表 1)进行转染试验。结果表明, B1 组 EGFP 荧光信号弱于 A1 组, 而 B3 组荧光信号强于 A3 组, 表明转染质粒量的减少或增加能在一定程度上降低或增加 EGFP 荧光强度。但 B4 组和 A4 组之间 EGFP 荧光信号强度无明显差别, 提示在细胞融合度较高的条件下, 即使增加转染质粒量也无法明显提高转染效率。此外, B3 与 A3、B4 与 A4 组相比, 增加转染质粒及脂质体量后, 光镜下可见死亡细胞明显增多, 细胞生长速度减慢, 状态受到影响(尤其对于 B4 组)。这提示虽然增加转染质粒及脂质体量能在一定程度上提高转染效率, 但这是以增加细胞毒性和损伤细胞状态为代价的。

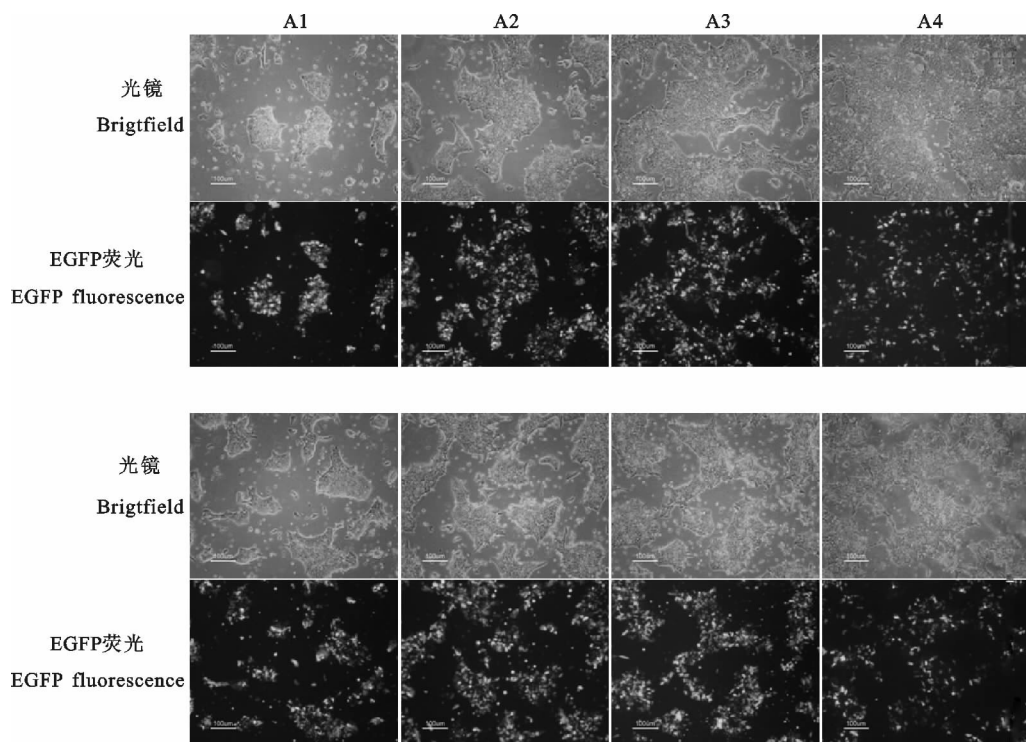


图 1 不同条件下脂质体法对 R1/E 细胞转染效率的显微镜观察(100×)

A1~A4. 各组 pEGFP-N1 质粒( $\mu\text{g}$ )/脂质体( $\mu\text{L}$ )均为 0.8/2; B1~B4. 各组所用 pEGFP-N1 质粒( $\mu\text{g}$ )/脂质体( $\mu\text{L}$ )分别为 0.4/1, 0.8/2, 1.6/4, 3.2/8

Fig. 1 Fluorescence observation of the liposome-mediated transfection efficiency of R1/E cells under different conditions (100×)

A1~A4. All transfected with 0.8  $\mu\text{g}$  pEGFP-N1 reporter plasmid/2  $\mu\text{L}$  Liposome; B1~B4. DNA and liposome used in each group were 0.4/1, 0.8/2, 1.6/4, 3.2/8 respectively

## 2.2 各组转染效率的流式分析

通过流式细胞计数对各组转染效率进行定量分析, 结果如图 2 所示。

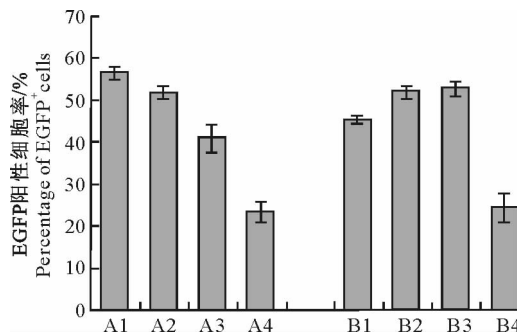


图 2 不同条件下脂质体法对 R1/E 细胞转染效率的比较

Fig. 2 Comparison of the transfection efficiency of the liposome-mediated transfection efficiency of R1/E cells under different conditions

由图 2 可看出, 流式分析结果与荧光观察结果基本一致, 各组都转染  $0.8 \mu\text{g}$  质粒/ $2 \mu\text{L}$  脂质体时, A1~A4 组 EGFP 阳性细胞率分别为  $(56.4 \pm 1.5)\%$ 、 $(51.8 \pm 1.2)\%$ 、 $(40.8 \pm 3.2)\%$  和  $(23.3 \pm 2.4)\%$ , 提示转染效率随着细胞融合度的增加而呈逐渐递减趋势。减少或增加转染质粒和脂质体量后, B1~B4 组 EGFP 阳性细胞率分别为  $(45.3 \pm 0.6)\%$ 、 $(51.8 \pm 1.2)\%$ 、 $(52.6 \pm 1.7)\%$  和  $(24.3 \pm 3.3)\%$ , 提示减少或增加转染质粒和脂质体量, 能在一定程度降低或提高转染效率, 但当转染细胞融合度为 90% 左右时, 即使提高转染质粒及脂质体量也无法明显改善转染效率 (A4 为  $(23.3 \pm 2.4)\%$ , B4 为  $(24.3 \pm 3.3)\%$ )。从以上结果可看出, 本试验中转染效率最高的为 A1 组 ( $(56.4 \pm 1.5)\%$ ); A2 ( $(51.8 \pm 1.2)\%$ ) 和 B3 ( $(52.6 \pm 1.7)\%$ ) 组转染效率差别不大, 也较为理想。A3 组而言, 转染质粒和脂质体量增加后, B3 组中死亡细胞明显增多, 细胞状态受到影响, 不利于细胞生长。综上可知, 在细胞融合度为 30%~50% 时,  $0.8 \mu\text{g}$  质粒/ $2 \mu\text{L}$  脂质体是较理想的 mESCs 转染条件。

## 3 讨 论

考虑到实验室安全性以及操作简便等因素, 本试验采用脂质体法对 mESCs 进行转染, 并对其转染条件进行了优化, 通过分析和比较不同细胞密度下脂质体法转染 mESCs 所获得的 EGFP 阳性细胞率, 发现在转染细胞融合度为 30% 左右时, 转染效率(即 EGFP 阳性细胞率)可达 56.4%, 随着细胞融合度的增加荧光信号逐渐减弱, 当转染细胞融合度

为 90% 左右时, 转染效率明显下降至 23.3%。虽然细胞融合度为 70% 左右时, 增加转染质粒及脂质体量能将转染效率从 40.8% 提高到 52.6%, 但这是以增加细胞毒性和损伤细胞状态为代价的。而细胞融合度为 90% 左右时, 即使按比例提高转染试剂及质粒量也无法明显改善转染效率。

值得一提的是, Lipofectamine<sup>TM</sup> 2000 说明书建议在细胞传代 24 h 后细胞融合度为 90% 左右时进行转染, 但从本试验结果来看, 这个条件并不适合所有的细胞, 应结合不同细胞的特性对转染条件进行优化。mESCs 是一种较特殊的细胞, 其呈克隆状生长, 如果克隆过大, 密度过高, 都将导致质粒不容易被转入。此外, 如果 mESCs 传代密度过高, 将导致细胞生长空间太小, 不利于克隆的形成。因此, 本试验降低了细胞密度, 对转染条件重新进行摸索。采用低细胞密度转染时, 细胞克隆形态典型, 状态良好, 但需要注意的是, 降低细胞密度后, 传代时将会导致细胞生长周期延长, 细胞进入对数生长期的时间也将延后。笔者认为, mESCs 低密度传代 24 h 后, 细胞更倾向于处于恢复过程中, 此时未必是合适的转染时机。而传代后 24~48 h, 细胞生长和增殖逐渐增强, 状态良好, 进入对数生长期, 此时应为恰当的转染时机。

本研究还发现, 若按照 Lipofectamine<sup>TM</sup> 2000 说明书提供的使用量 ( $0.8 \mu\text{g}$  DNA/ $2 \mu\text{L}$  脂质体) 进行操作, 脂质体对于 mESCs 毒性并不大。此外, 作者对转染过程进行了调整, 在加入新鲜培养基之前, 先让 DNA-转染试剂复合物直接与细胞孵育 3~5 min, 这有助于提高细胞转染效率, 其原因可能是这样的操作可增加 DNA-转染试剂和细胞接触进而进入细胞的机率。但由于 DNA-转染试剂复合物量少, 且仅含基础培养基, 这样的孵育可能会导致细胞皱缩现象, 不利于维持良好的细胞状态。

综上可以得出, 在细胞融合度为 30%~50% 的条件下, 用脂质体转染 mESCs 可获得较为理想的转染效率 ( $>50\%$ ), 并维持良好的细胞状态。本研究结果为进一步的 mESCs 相关研究提供了良好的工作基础, 同时也为提高一些较难转染细胞系的转染效率提供了思路。

## [参考文献]

- [1] Smith A G. Embryo-derived stem cells: of mice and men [J]. Annu Rev Cell Dev Biol, 2001, 17: 435-62.
- [2] Keller G. Embryonic stem cell differentiation: Emergence of a

- new era in biology and medicine [J]. *Genes Dev.*, 2005, 19(10): 1129-1155.
- [3] Chew J L, Loh Y H, Zhang W S, et al. Reciprocal transcriptional regulation of Pou5f1 and Sox2 via the Oct4/Sox2 complex in embryonic stem cells [J]. *Mol Cell Biol.*, 2005, 25(14): 6031-6046.
- [4] Pfeifer A, Ikawa M, Dayn Y, et al. Transgenesis by lentiviral vectors: lack of gene silencing in mammalian embryonic stem cells and preimplantation embryos [J]. *Proc Natl Acad Sci USA*, 2002, 99(4): 2140-2145.
- [5] 张梅英, 李华, 董婉维, 等. 稳定整合 pTet-on 载体小鼠胚胎干细胞株的建立 [J]. *中国实验动物学报*, 2006, 14(3): 161-166.  
Zhang M Y, Li H, Dong W W, et al. Establishment of a mouse embryonic stem cell line integrated with pTet-on gene [J]. *Acta Lab Anim Sci Sin*, 2006, 14(3): 161-166. (in Chinese)
- [6] Ma Y, Ramezani A, Lewis R, et al. High-level sustained transgene expression in human embryonic stem cells using lentiviral vectors [J]. *Stem Cells*, 2003, 21(1): 111-117.
- [7] Zaehres H, Lensch M W, Daheron L, et al. High-efficiency RNA interference in human embryonic stem cells [J]. *Stem Cells*, 2005, 23(3): 299-305.
- [8] Li G B, Lu G X. Gene delivery efficiency in bone marrow-derived dendritic cells: comparison of four methods and optimization for lentivirus transduction [J]. *Mol Biootechnol*, 2009, 43(3): 250-256.
- [9] Lee C H, Kim E Y, Jeon K, et al. Simple, efficient, and reproducible gene transfection of mouse embryonic stem cells by magnetofection [J]. *Stem Cells Dev.*, 2008, 17(1): 133-141.
- [10] Tang F C, Meng G L, Yang H B, et al. Stable suppression of gene expression in murine embryonic stem cells by RNAi directed from DNA vector-based short hairpin RNA [J]. *Stem Cells*, 2004, 22(1): 93-99.
- [11] Zhang J, Tam W L, Tong G Q, et al. Sall4 modulates embryonic stem cells pluripotency and early embryonic development by the transcriptional regulation of Pou5f1 [J]. *Nat Cell Biol*, 2006, 8(10): 1114-1123.
- [12] Hough S R, Clements I, Welch P J, et al. Differentiation of mouse embryonic stem cells after RNA interference-mediated silencing of OCT4 and NANOG [J]. *Stem Cells*, 2006, 24(6): 1467-1475.
- [13] Madan B, Madan V, Weber O, et al. The pluripotency-associated gene Dppa4 is dispensable for embryonic stem cell identity and germ cell development but essential for embryogenesis [J]. *Mol Cell Biol*, 2009, 29(11): 3186-3203.
- [14] Ko B S, Chang T C, Shyue S K, et al. An efficient transfection method for mouse embryonic stem cells [J]. *Gene Ther*, 2009, 16(1): 154-158.
- [15] Okita K, Hong H, Takahashi K, et al. Generation of mouse-induced pluripotent stem cells with plasmid vectors [J]. *Nat Protoc*, 2010, 5(3): 418-428.